

469



**ДОРОХОВ Сергей Петрович**

**ОБОСНОВАНИЕ ОПТИМАЛЬНЫХ ПО БЫСТРОДЕЙСТВИЮ  
ПРОЦЕССОВ ПЕРЕНОСА ЛЕСОМАТЕРИАЛОВ ШАРНИРНО-  
РЫЧАЖНЫМИ МАНИПУЛЯТОРАМИ В ОБРАБАТЫВАЮЩИХ  
УСТАНОВКАХ**

Специальность 05.21.01. – технология и машины лесозаготовок  
и лесного хозяйства

**АВТОРЕФЕРАТ**  
диссертации на соискание ученой степени  
кандидата технических наук

Работа выполнена на кафедре сервиса и эксплуатации транспортных и технологических машин ГОУ ВПО «Уральский государственный лесотехнический университет»

Научный руководитель:  
кандидат технических наук, доцент  
Панычев Анатолий Павлович

Официальные оппоненты:  
доктор технических наук, профессор  
Ковалев Рудольф Николаевич  
  
кандидат технических наук  
Голенищев Александр Владимирович

Ведущая организация  
Уральский научно-исследовательский  
институт переработки древесины  
ОАО «УралНИИПДрев» (г.Екатеринбург)

Защита состоится «23» декабря 2010 года в 10-00 часов на заседании диссертационного совета Д 212.281.02 при ГОУ ВПО «Уральский государственный лесотехнический университет» по адресу: 620100, г. Екатеринбург, Сибирский тракт 37, зал заседаний – аудитория 401.

С диссертацией можно ознакомиться в библиотеке ГОУ ВПО «Уральский государственный лесотехнический университет».

Автореферат разослан 22 ноября 2010 г.

Ученый секретарь  
диссертационного совета,  
кандидат технических наук, доцент

Кузубина Н.В.

## ОБЩАЯ ХАРАКТЕРИСТИКА РАБОТЫ

**Актуальность темы.** Интенсификация раскряжевки хлыстов связана с уменьшением цикла работы технологического оборудования и требует уменьшения цикла подачи хлыстов манипулятором в раскряжевочную установку. Поэтому сокращение времени подачи хлыстов в раскряжевочную установку представляет важную техническую и экономическую задачу.

Достичь сокращения времени перемещения захвата можно оптимальным управлением движением звеньев манипулятора.

Анализ литературных источников и научно-исследовательских работ по оптимальному управлению манипуляторами в различных технологических процессах показал, что к настоящему моменту есть математические модели и методы, позволяющие оптимизировать работу манипуляторов, но в целом конкретных исследований процессов с использованием шарнирно-рычажных манипуляторов недостаточно. Несмотря на большую актуальность проблемы оптимального по быстродействию управления движением звеньев манипуляторов в обрабатывающих установках, решение ее не нашло достаточного отражения в научной литературе, чем и обусловлена актуальность проведенного исследования.

**Целью работы** является научное обоснование оптимальных по быстродействию процессов переноса лесоматериалов шарнирно-рычажными манипуляторами в обрабатывающих установках.

**Методическая и теоретическая основы исследования.** Методическую и теоретическую основы исследования составили научные труды отечественных и зарубежных авторов в таких областях и направлениях науки как технология и механизация лесного хозяйства и лесозаготовок, моделирование и оптимизация процессов лесозаготовок, теория автоматического регулирования и управления, оптимизация управления приводами манипуляторов, оптимизация процесса переноса лесоматериалов манипуляторами лесных машин, теория вероятностей и математическая статистика, оптимизация технических систем, параметрическая оптимизация проектных решений.

**Предмет исследования.** Предметом исследования является оптимальное по быстродействию управление движением звеньев шарнирно-рычажного манипулятора в цикле загрузки обрабатывающей установки.

**Объект исследования.** Объектом исследования является процесс загрузки лесоматериалов в обрабатывающие установки шарнирно-рычажными манипуляторами.

**Научная новизна исследования.** Теоретически обоснованы оптимальные параметры (угловые скорости звеньев, траектории захвата) процесса переноса лесоматериалов шарнирно-рычажными манипуляторами в обрабатывающих установках.

Математически смоделирован процесс переноса лесоматериалов и получены средние значения продолжительности циклов переноса лесоматериалов шарнирно-рычажными манипуляторами с различной организацией движения звеньев.

Разработана методика имитационного моделирования времени ожидания обрабатывающей установкой загрузки лесоматериалов манипуляторами с различной организацией движения звеньев.

Разработана методика автоматизированного проектирования прямолинейно-направляющего механизма шарнирно-рычажного манипулятора для раскряжевочных установок.

**Практическая значимость исследования.** Результаты выполненных теоретических и экспериментальных исследований могут быть использованы лесопромышленной библиотекой УГЛТУ г.Екатеринбург

ленными предприятиями при выборе шарнирно-рычажных манипуляторов для тех или иных технологических процессов. Научно-исследовательскими и проектными институтами—при разработке новых и усовершенствовании известных шарнирно-рычажных манипуляторов. Теоретическое обоснование оптимального управления процессом переноса лесоматериалов шарнирно-рычажными манипуляторами, методика автоматизированного проектирования прямолинейно-направляющего механизма шарнирно-рычажного манипулятора могут быть использованы в учебном процессе учебных заведений.

**Апробация результатов исследования.** Методика автоматизированного проектирования прямолинейно-направляющего механизма шарнирно-рычажного манипулятора использована Уральским научно-исследовательским институтом лесной промышленности при создании манипулятора для подачи хлыстов в раскряжевочную установку МО-1 и автоматизированной системы управления манипулятором в раскряжевочной установке.

**Публикации.** Материалы научных исследований по теме диссертации изложены в 18 печатных работах. По материалам диссертации получено 5 авторских свидетельств.

#### Перечень базисных положений, выносимых на защиту:

а) концепция оптимального по быстродействию управления процессом переноса лесоматериалов шарнирно-рычажными манипуляторами в обрабатывающих установках;

б) регрессионная модель времени цикла переноса лесоматериала в обрабатывающей установке шарнирно-рычажным манипулятором;

в) результаты статистического моделирования и определения среднего времени цикла переноса лесоматериалов шарнирно-рычажными манипуляторами с различной организацией движения звеньев;

г) результаты имитационного моделирования времени ожидания раскряжевочной установкой загрузки хлыстов манипуляторами с различной организацией движения звеньев;

д) методика автоматизированного проектирования прямолинейно-направляющего механизма шарнирно-рычажного манипулятора для раскряжевочных установок.

**Объем и структура диссертационной работы.** Диссертационная работа состоит из введения, пяти разделов, выводов и предложений и списка литературы. Она включает 154 страницы машинописного текста, включая 39 рисунков, 8 таблиц, 26 приложений.

#### ОСНОВНОЕ СОДЕРЖАНИЕ РАБОТЫ

Во введении обоснована актуальность темы диссертационной работы и определены научные положения, выносимые на защиту.

#### 1. СОСТОЯНИЕ ВОПРОСА ЗАГРУЗКИ ЛЕСОМАТЕРИАЛОВ МАНИПУЛЯТОРАМИ В ОБРАБАТЫВАЮЩИЕ УСТАНОВКИ

Манипуляторы являются важным средством механизации первичной обработки древесины, способствуя улучшению загрузки технологического оборудования и используются для подачи деревьев в стационарные сучкорезные и сучкорезно-раскряжевочные установки, разобщения пачек и поштучной выдачи хлыстов на стационарные многопильные раскряжевочные установки и на подающие механизмы ста-

ционарных линий по разделке хлыстов, подачи хлыстов и деревьев в передвижные процессоры и харвестеры, а также для поправки хлыстов на поперечных транспортёрах стационарных обрабатывающих установок.

Анализ работ, связанных с оптимизацией процесса переноса груза манипуляторами показал, что имеющиеся работы в основном посвящены решению проблемы оптимизации параметров манипуляторов лесосечных (валочных и трелевочных) машин преимущественно из условия минимума энергетических затрат. При этом отсутствуют работы по совместному обоснованию траекторий переноса лесоматериалов и режимов движения звеньев. В то же время имеющиеся технические решения также не содержат обоснования оптимальных по быстродействию режимов работы манипуляторов в обрабатывающих установках (траекторий переноса лесоматериалов, угловых скоростей звеньев), так как в основном содержат практические соображения организации движения звеньев. Отсутствуют обоснованные методики проектирования шарнирно-рычажных манипуляторов для обрабатывающих установок.

#### 2. ОПТИМАЛЬНОЕ УПРАВЛЕНИЕ ПРОЦЕССОМ ПЕРЕНОСА ЛЕСОМАТЕРИАЛОВ ШАРИРНО-РЫЧАЖНЫМИ МАНИПУЛЯТОРАМИ ПО КРИТЕРИЮ ВРЕМЕНИ

В качестве критерия оптимальности принят показатель времени, который в математической форме представляется интегральным функционалом

$$T = \int_0^l \frac{ds}{v_C},$$

где  $l$  – длина траектории переноса груза–лесоматериала,  $v_C = \sqrt{\dot{x}_C^2 + \dot{y}_C^2}$  – скорость точки  $C$  манипулятора.

Теоретическое исследование проведено на основе плоскостной кинематической модели манипулятора (рис.1)

$$\begin{cases} \dot{x}_C = -l_1 \sin \alpha_1 \omega_1 - l_2 \sin(\alpha_2 - \alpha_1)(\omega_2 - \omega_1), \\ \dot{y}_C = l_1 \cos \alpha_1 \omega_1 - l_2 \cos(\alpha_2 - \alpha_1)(\omega_2 - \omega_1), \end{cases}$$

где  $\dot{x}_C$ ,  $\dot{y}_C$  – скорости центра захвата по осям координат.

Задача о быстродействии решена на основе классического вариационного исчисления.

**Основные ограничения.** Ограничения на угловые скорости звеньев

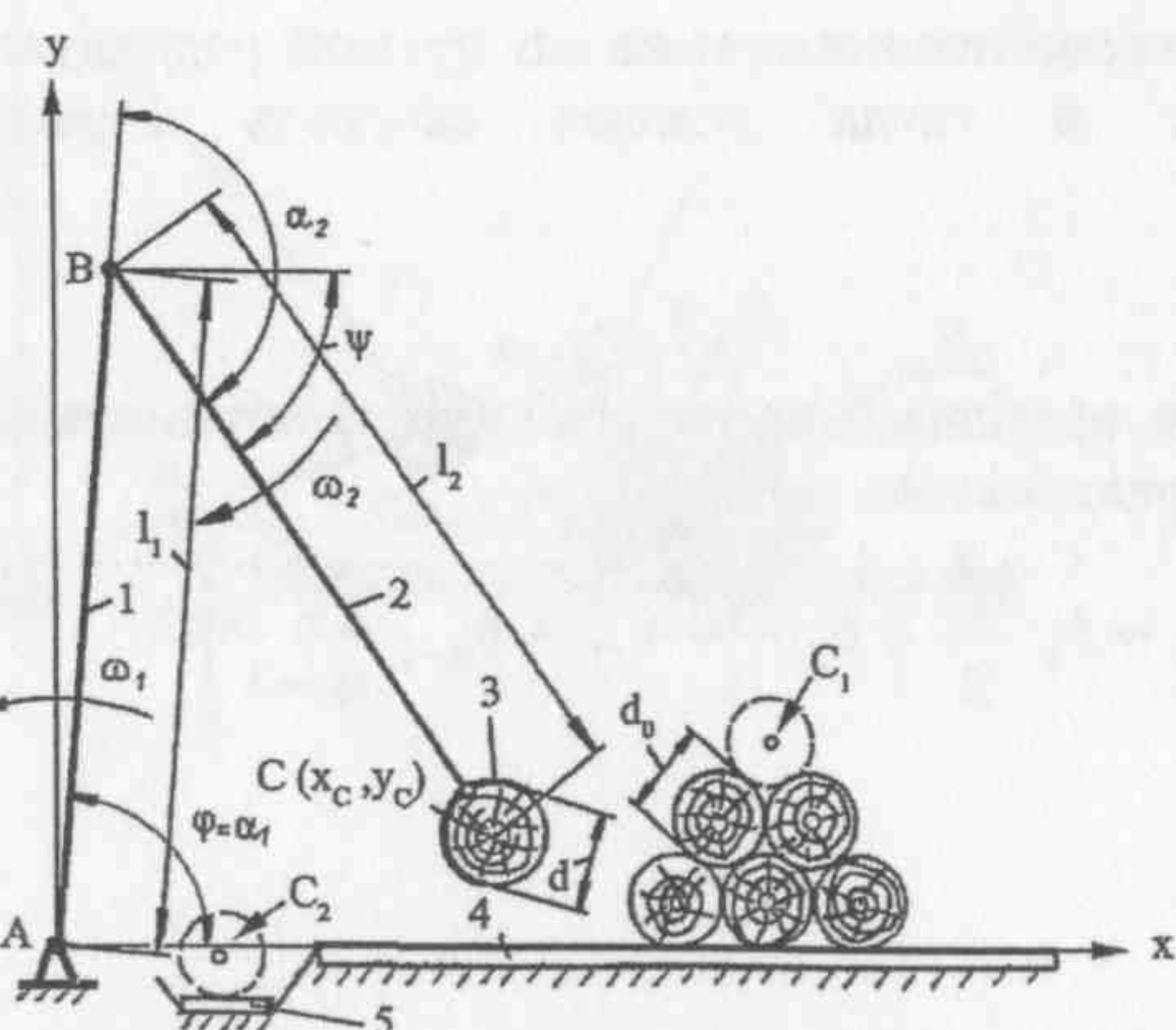


Рис. 1. Схема процесса переноса лесоматериала из пачки к продольному транспортеру раскряжевочной установки:

1 – стрела; 2 – рукоять; 3 – захват; 4 – разгрузочная эстакада; 5 – продольный транспортер;  $\varphi$  и  $\psi$  – обобщенные координаты;  $\alpha_1$  – угол поворота стрелы;  $\alpha_2$  – угол поворота рукояти относительно стрелы;  $l_1$  – длина стрелы;  $l_2$  – расстояние от оси шарнирного соединения рукояти со стрелой до центра  $C$  захвата;  $\omega_1$  – угловая скорость стрелы;  $\omega_2$  – угловая скорость рукояти.

$$|\omega_i| - \Omega_i \leq 0, \quad i = 1, 2,$$

где  $\Omega_i$  – максимальное значение  $i$ -ой угловой скорости  $i$ -ого звена манипулятора.

Ограничения на координаты звеньев

$$(x_C - x_0)^2 + (y_C - y_0)^2 \geq \frac{(d + d_0)^2}{4},$$

где  $x_0, y_0$  – координаты центра сечения лесоматериала–препятствия, лежащего в пачке,  $d_0$  – диаметр лесоматериала–препятствия,  $d$  – диаметр переносимого лесоматериала.

Условие синхронного движения звеньев

$$\omega_1 = \omega_2 \frac{(x_C + y_C y'_C)(x_C^2 + y_C^2 + l_2^2 - l_1^2) - (y'_C x_C - y_C)[4l_1^2 l_2^2 - (l_1^2 + l_2^2 - x_C^2 - y_C^2)^2]^{1/2}}{2(x_C + y_C y'_C)(x_C^2 + y_C^2)},$$

где  $y'_C$  – производная  $y_C$  по  $x_C$ .

Критерий оптимальности в зависимости от параметров процесса переноса груза записан в виде

$$T = \int_{x_{C1}}^{x_{C2}} \frac{\sqrt{1 + y_C'^2} dx_C}{\sqrt{l_2^2 \omega_2^2 + \omega_1 \omega_2 (l_1^2 - l_2^2) - \omega_1 (\omega_2 - \omega_1) (x_C^2 + y_C^2)}},$$

а для общего случая строго синхронного движения звеньев в виде

$$T = \int_{x_{C1}}^{x_{C2}} \frac{2(x_C + y_C y'_C) dx_C}{\omega_2 \sqrt{4l_1^2 l_2^2 - (l_1^2 + l_2^2 - x_C^2 - y_C^2)^2}}. \quad (1)$$

В результате решения уравнения Эйлера

$$F_{\omega_2} - \frac{d}{dx_C} F_{\omega_2} = 0,$$

где  $F$  подынтегральная функция интеграла (1), получена угловая скорость рукояти, равная  $\omega_2 = \Omega_2$ , а угловая скорость стрелы равна

$$\omega_1 = \frac{\Omega_2}{2} \left[ 1 - \frac{l_1^2 - l_2^2}{x_C^2 + y_C^2} - \frac{\sqrt{4l_1^2 l_2^2 - (l_1^2 + l_2^2 - x_C^2 - y_C^2)^2}}{a(x_C^2 + y_C^2)} \right].$$

В частном случае при переносе лесоматериала по прямой радиальной линии возмущающая функция  $a = \infty$  и тогда угловая скорость стрелы равна

$$\omega_1 = \frac{\Omega_2}{2} \left( 1 - \frac{l_1^2 - l_2^2}{x_C^2 + y_C^2} \right).$$

Интерполирующая функция, приближённо изображающая оптимальную траекторию переноса лесоматериала, представлена в виде

$$\rho_C = \text{Re}xp \left( b_0 \varphi_C + b_1 \frac{\varphi_C^2}{2} + b_2 \frac{\varphi_C^3}{3} + \dots + b_{n-2} \frac{\varphi_C^{n-1}}{n-1} \right),$$

где  $b_0, b_1, b_2, b_{n-2}$  – коэффициенты полинома

$$a = b_0 + b_1 \varphi_C + \dots + b_{n-2} \varphi_C^{n-2}.$$

В частных случаях при ограничениях по координатам центра захвата и ограничениях по угловым скоростям звеньев оптимальная траектория имеет вид (рис.2)

$$\rho_C = \text{Re}xp \left( b_0 + \frac{b_1}{2} \varphi_C \right) \varphi_C.$$

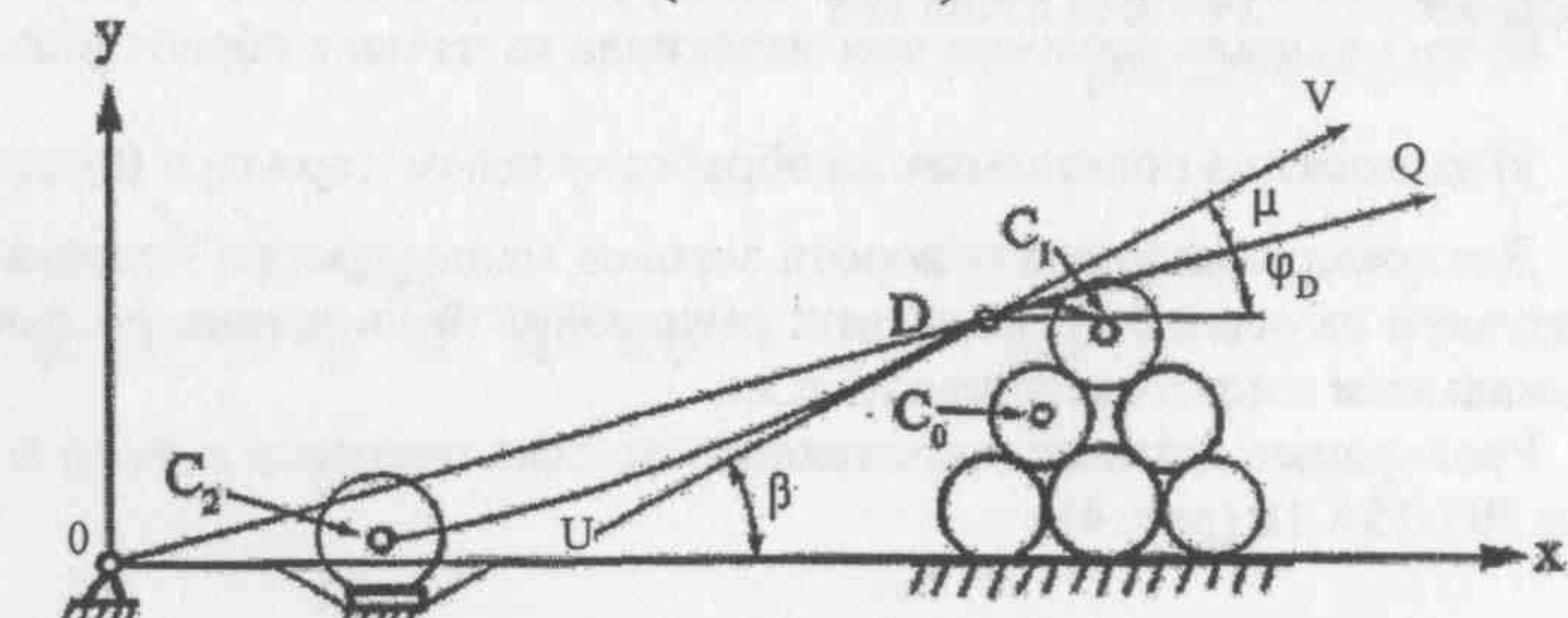


Рис. 2. Траектория переноса лесоматериала при наличии ограничений по координатам центра зева захвата для случая строго синхронного движения звеньев

В частном случае не строго синхронного движения звеньев плоская оптимальная траектория переноса лесоматериала содержит отрезок прямой радиальной линии, проходящей через ось опорного шарнира стрелы

$$y_C = a_0 x_C,$$

где  $a_0$  – угловой коэффициент прямой.

В структуру траектории входят также отрезки окружностей  $x_{C1}^2 + y_{C1}^2 = R_{C1}^2$ ,  $x_{C2}^2 + y_{C2}^2 = R_{C2}^2$ , проходящие через начальную и конечную точки положения центра захвата (рис. 3).

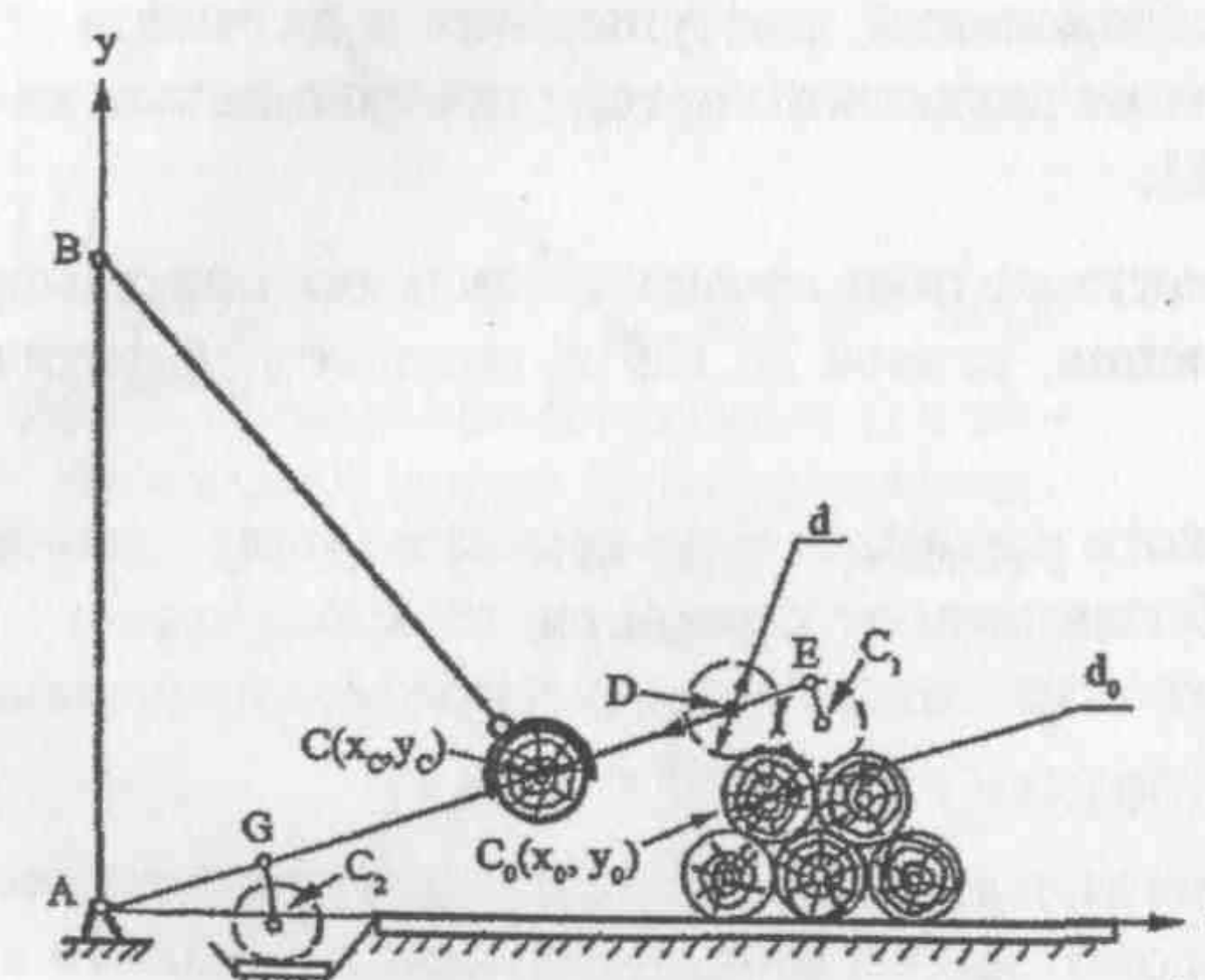


Рис.3. Траектория, состоящая из отрезков  $C_1E$  и  $GC_2$  окружностей и отрезка  $EG$  прямой радиальной линии

### 3. ЭКСПЕРИМЕНТАЛЬНЫЕ ИССЛЕДОВАНИЯ СВЯЗИ ВРЕМЕНИ ЦИКЛА С УГЛАМИ ПОВОРОТА ЗВЕНЬЕВ МАНИПУЛЯТОРА

Целью экспериментальных исследований являлось получение данных для прогнозирования времени цикла переноса лесоматериала в обрабатывающей установке манипуляторами с различной организацией движения звеньев.

В процессе экспериментальных исследований замерялись следующие величины:

- а) углы поворота звеньев (стрелы и рукояти) манипулятора;
- б) время цикла переноса лесоматериала из пачки к обрабатывающей установке;
- в) количество подаваемых на обработку лесоматериалов (число циклов).

Для измерения углов поворота звеньев манипулятора использовались реохордные датчики на основе проволочных резисторов переменного сопротивления ППЗ-11 максимальным сопротивлением 1,5кОм.

Реохордные датчики закреплялись на осях поворота стрелы и рукояти манипулятора ЛО-15А.10 (рис. 4).

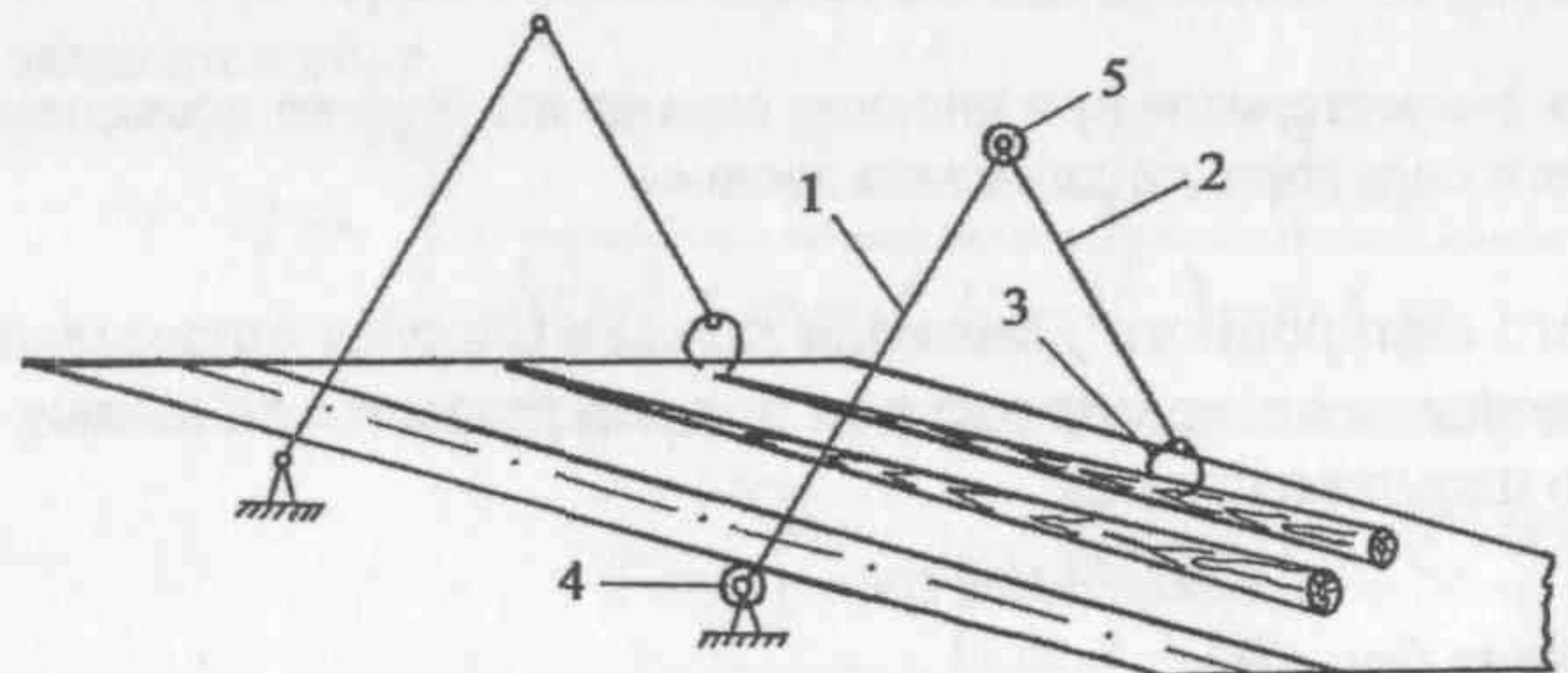


Рис. 4. Схема установки реохордных датчиков на стреле манипулятора:  
1—стрела; 2—рукоять;  
3—захват; 4—реохордный датчик стрелы;  
5—реохордный датчик рукояти

Для определения времени работы захватного органа гальванометры в осциллографе подключались к источнику питания постоянного тока через нормально замкнутые контакты реле, подключаемых параллельно катушкам электромагнитов гидро-распределителя зажима–разжима захватного органа.

Регистрация сигналов в ходе исследований, поступающих с датчиков углов и датчиков времени включения–выключения захватного органа производилась на бумагу светолучевого осциллографа Н004М1.

Определены статистические характеристики времени цикла подачи хлыста манипулятором ЛО-15А.10: среднее значение, равное 26,129 с; среднее квадратическое отклонение, равное 15,848 с.

Получены кривая 1 статистического распределения времени цикла подачи хлыста манипулятором ЛО-15А.10, работающим в угловой системе координат с различным по времени движением звеньев и кривая 2 теоретического распределения, описываемая функцией вида  $f(t_n) = 0,00136t_n^{1,718}e^{-0,104t_n}$  (рис.5).

На основе результатов экспериментальных исследований получена регрессионная модель времени цикла переноса лесоматериала манипулятором ЛО-15А.10 вида

$$Y = 17,679X_1 + 10,371X_2 - 0,599, \quad (2)$$

где  $X_1$  – угловой путь стрелы в цикле переноса лесоматериала;  $X_2$  – угловой путь рукояти в цикле переноса лесоматериала;  $Y$  – время цикла переноса лесоматериала в обрабатывающей установке.

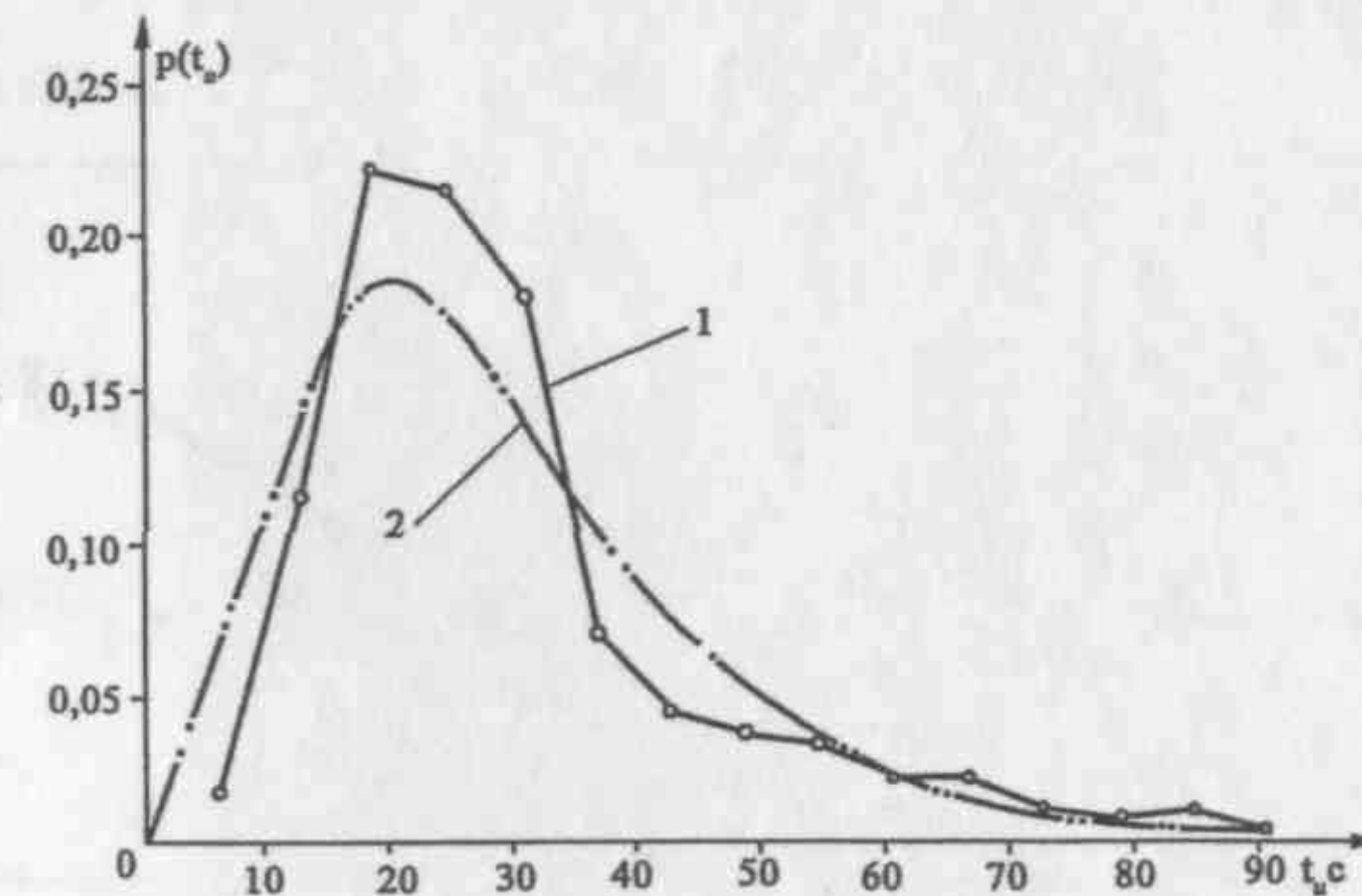


Рис. 5. Статистическое (кривая 1) и теоретическое (кривая 2) распределения цикла подачи хлыста манипулятором ЛО-15А.10

### 4. МОДЕЛИРОВАНИЕ ПРОЦЕССА ПЕРЕНОСА ЛЕСОМАТЕРИАЛА ШАРНИРНО-РЫЧАЖНЫМ МАНИПУЛЯТОРОМ

С использованием полученной регрессионной модели (2) проведено статистическое моделирование времени цикла манипулятора на основе прямолинейно-направляющего механизма и манипулятора со строго синхронным движением звеньев.

Получены соответствующие кривые 1 статистического и кривые 2 теоретического распределений времени циклов манипуляторов (см. рис. 6 и рис. 7). Функции плотности распределения вероятностей времени цикла подачи хлыста манипуляторами приведены в табл. 1

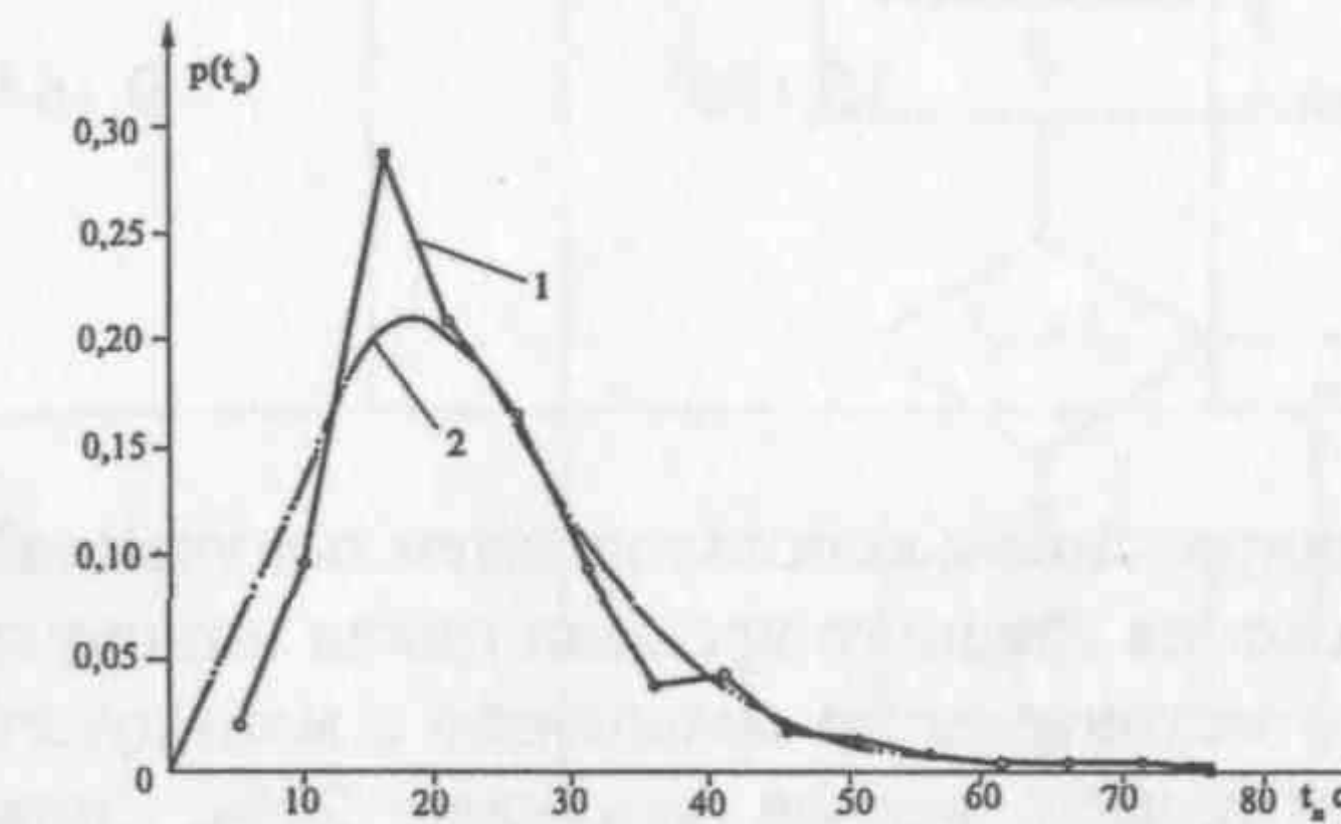


Рис. 6. Статистическое (кривая 1) и теоретическое (кривая 2) распределения времени цикла подачи хлыста манипулятором на основе прямолинейно-направляющего механизма

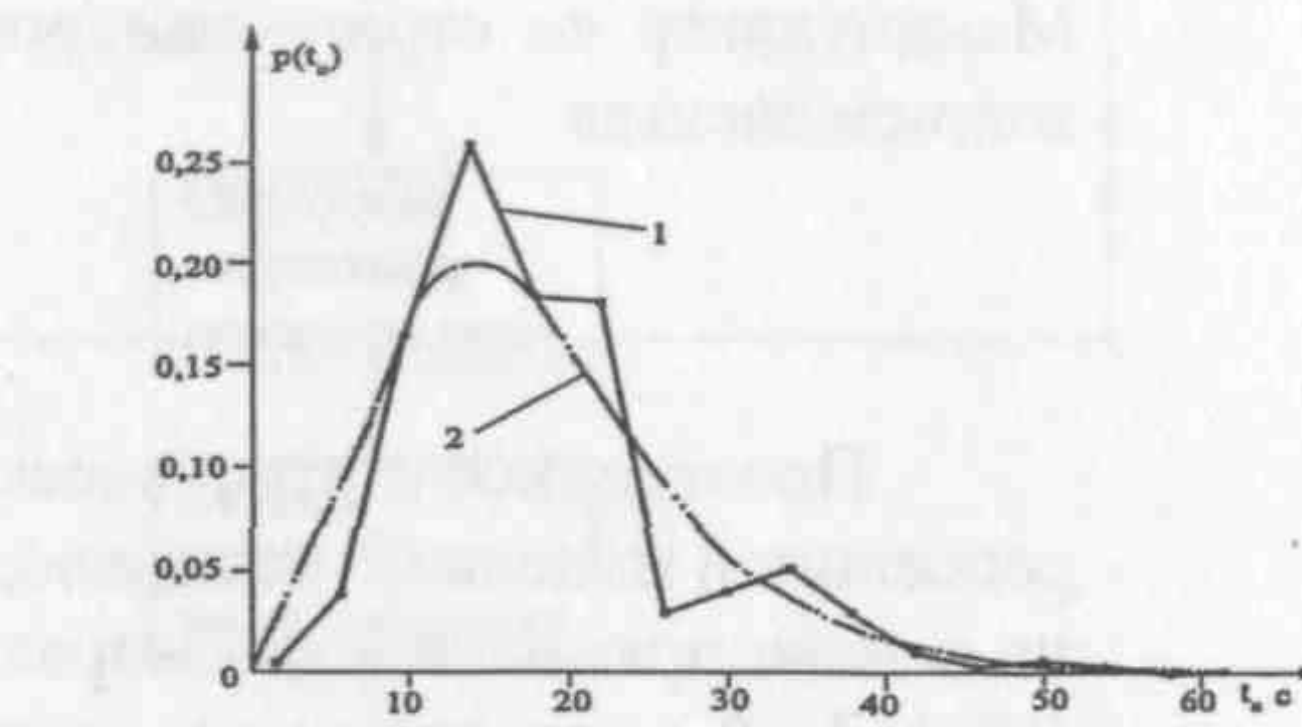


Рис. 7. Статистическое (кривая 1) и теоретическое (кривая 2) распределения времени цикла подачи хлыста манипулятором со строго синхронным движением звеньев

Таблица 1

**Функции плотности распределения вероятностей времени цикла подачи хлыста**

Вариант загрузки раскряжевочной установки	Плотность распределения
Манипулятор с частично синхронным движением звеньев на основе прямолинейно-направляющего механизма	$f(t_n) = 0,00041 t_n^{2,75} e^{-0,186t_n}$
Манипулятор со строго синхронным движением звеньев	$f(t_n) = 0,0023 t_n^{2,188} e^{-0,195t_n}$

Получены статистические характеристики времени цикла подачи хлыста манипулятором на основе прямолинейно-направляющего механизма и манипулятора со строго синхронным движением звеньев (см. табл. 2).

Таблица 2

**Статистические характеристики времени цикла подачи хлыста**

Вариант загрузки раскряжевочной установки	Среднее арифметическое, с	Среднее квадратическое отклонение, с
Манипулятор с частично синхронным движением звеньев на основе прямолинейно-направляющего механизма	19,949	10,428
Манипулятор со строго синхронным движением звеньев	16,195	9,164

Проведенное статистическое моделирование с использованием полученной регрессионной модели (2) показало, что снижение среднего времени цикла манипулятора на основе прямолинейно-направляющего механизма по сравнению с манипулятором ЛО-15А.10 с раздельным по времени движением звеньев составляет 24%. Снижение среднего времени цикла манипулятора со строго синхронным движением звеньев по сравнению с манипулятором ЛО-15А.10 составляет 38% (рис. 8).

Проведено имитационное моделирование процесса загрузки лесоматериала манипулятором с целью определения времени ожидания раскряжевочной установкой, блок-схема которого показана на рис. 9. На рисунке обозначено  $N$  – количество испытаний (количество циклов загрузки манипулятором раскряжевочной установки),  $B$  – интервал времени, на котором проводится исследование,  $M$  – количество точек деления интервала  $B$ ,  $C, A, L$  – параметры распределения времени цикла подачи хлыста манипулятором,  $C1, A1, L1$  – параметры распределения времени цикла раскряжевки,  $t_n$  – время цикла подачи хлыста манипулятором,  $t_p$  – время цикла раскряжевки,  $t_{ож}$  – время ожидания загрузки раскряжевочной установкой.

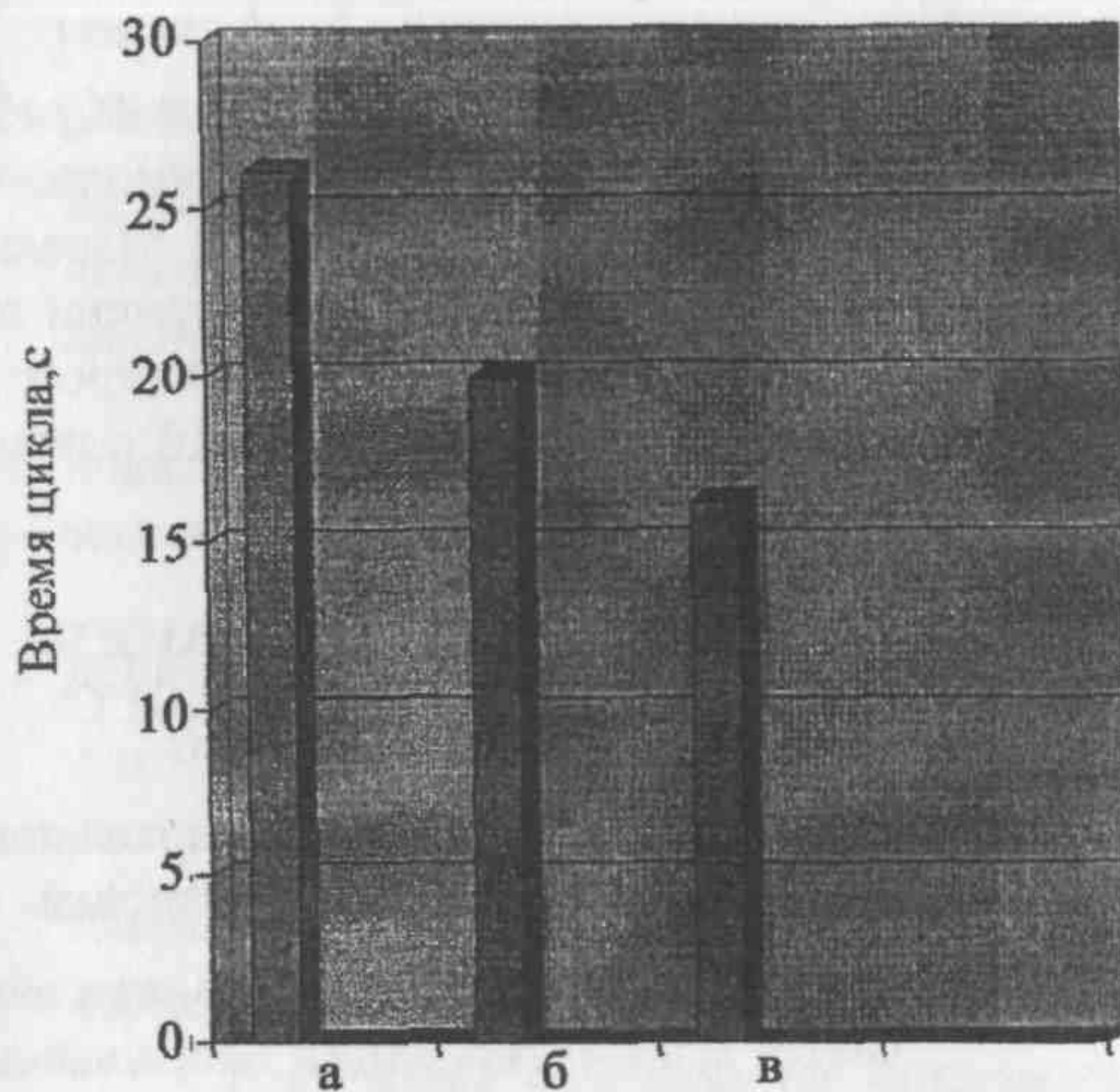


Рис. 8. Время цикла в зависимости от организации движения звеньев манипулятора: а – время цикла для раздельного движения звеньев; б – время цикла манипулятора на основе прямолинейно направляющего механизма; в – время цикла для строго синхронного движения звеньев

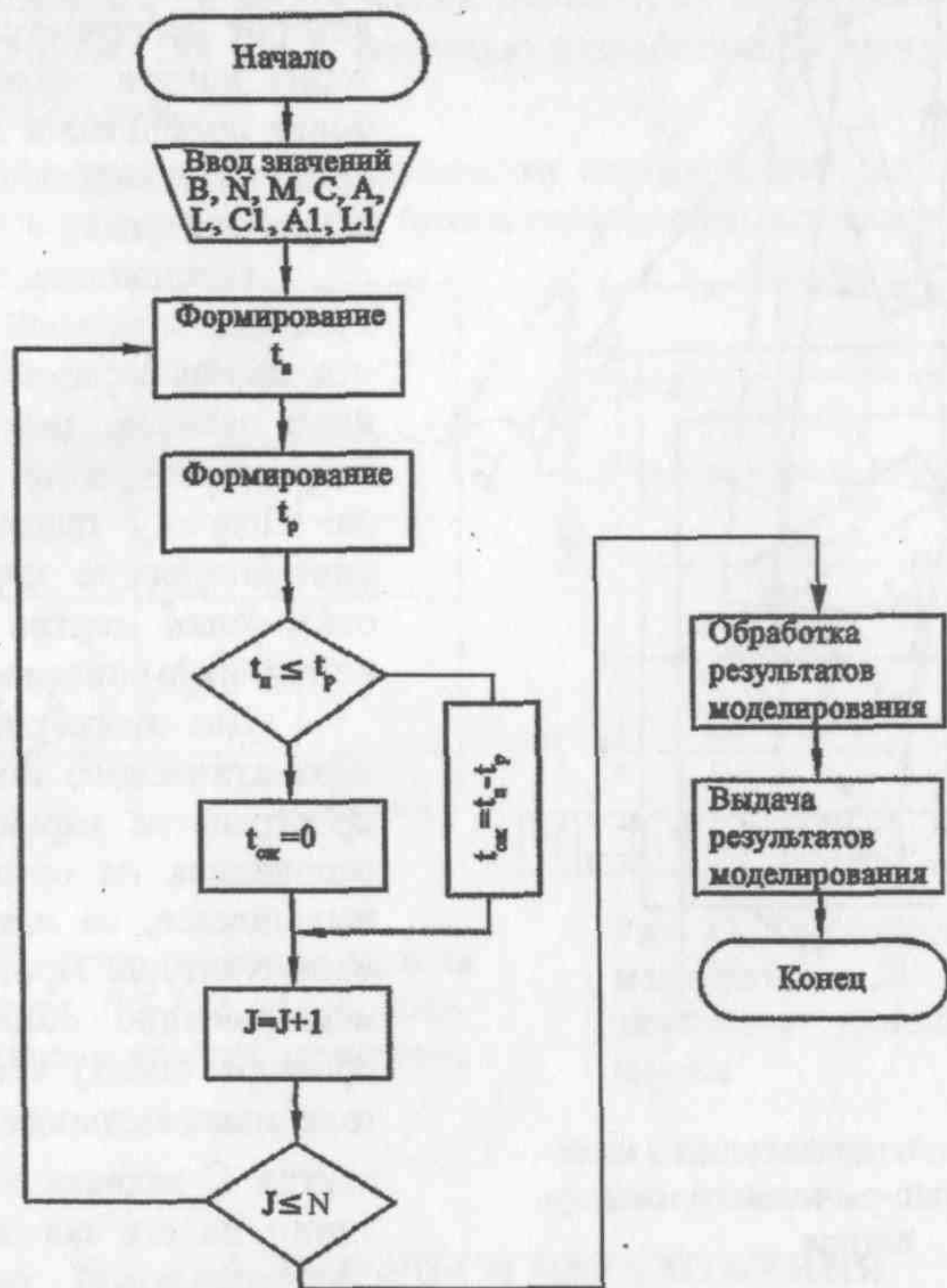


Рис. 9. Блок-схема моделирования времени ожидания загрузки раскряжевочной установкой

Моделирование показало, что уменьшение среднего времени цикла обработки хлыста РУ ЛО-15С при загрузке установки манипулятором на основе прямолинейно-направляющего механизма по сравнению с манипулятором ЛО-15А.10 с раздельным движением звеньев составляет 1,8 с или 4,1%. Уменьшение среднего времени цикла обработки хлыста РУ ЛО-15С при загрузке установки манипулятором со строго синхронным движением звеньев по сравнению с манипулятором ЛО-15А.10 с раздельным движением звеньев составляет 2,9 с или 6,6%.

## 5. МЕТОДИКА АВТОМАТИЗИРОВАННОГО ПРОЕКТИРОВАНИЯ НАПРАВЛЯЮЩЕГО МЕХАНИЗМА ШАРНИРНО-РЫЧАЖНОГО МАНИПУЛЯТОРА

Разработана методика автоматизированного проектирования направляющего механизма шарнирно-рычажного манипулятора для обрабатывающей установки.

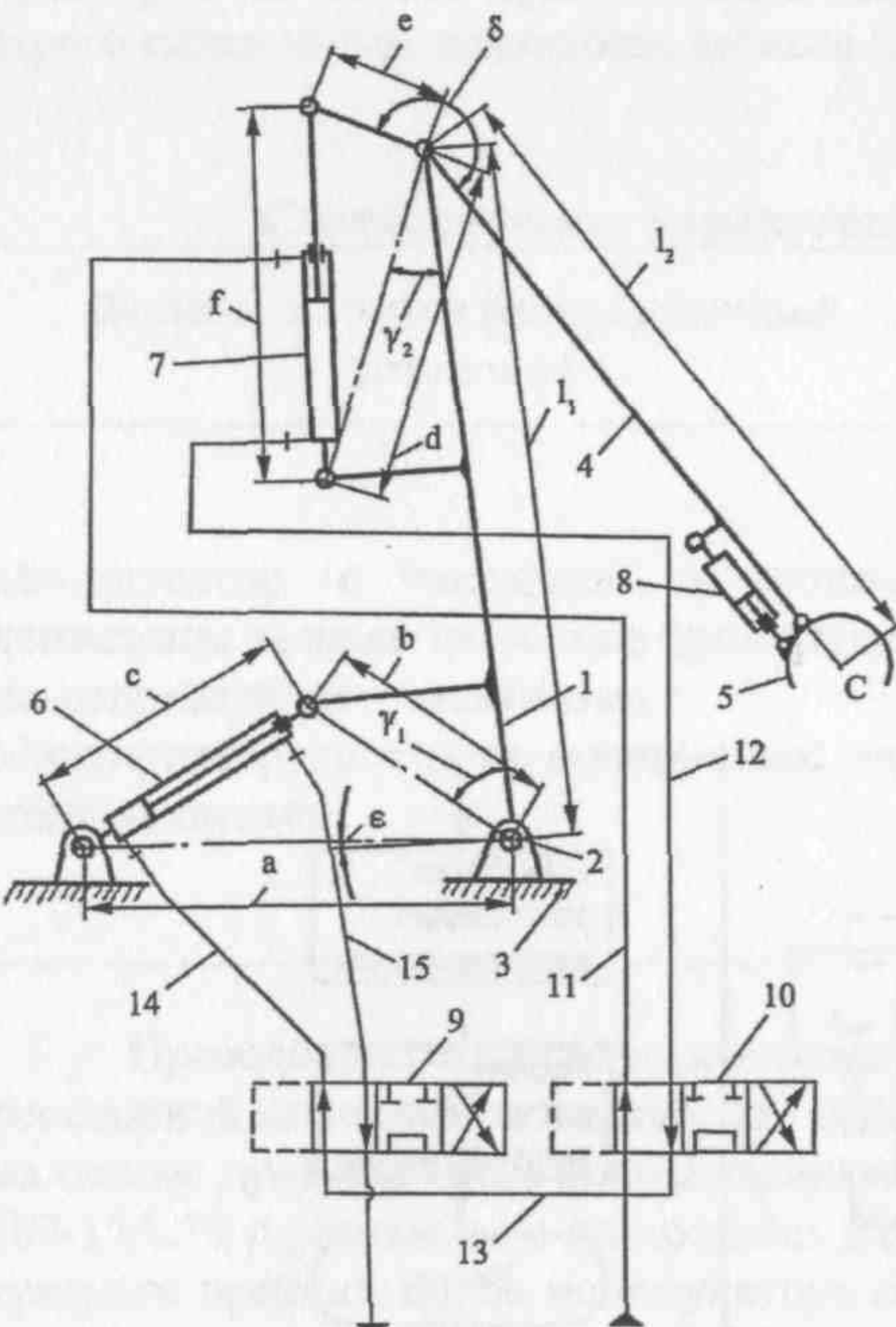
Основная задача методики заключается в проектировании направляющего механизма шарнирно-рычажного манипулятора по кинематическому условию, которое заключается в том, чтобы траектория центра захвата была как можно более приближена к прямой радиальной линии, проходящей через ось опорного шарнира стрелы.

Отклонение центра захвата манипулятора от прямой линии зависит от соотношения кинематических параметров: длин звеньев, параметров закрепления гидроцилиндров на звеньях манипулятора. Поэтому целесообразно подбирать кинематические параметры так, чтобы отклонение центра захвата от прямых линий было минимальным.

Для этого разработана программа автоматического поиска в метрическом пространстве варьируемых параметров, основанная на организации итерационных циклов, на математической модели манипулятора. Программа осуществляет модификацию модели манипулятора и проводит оценку критериального показателя максимального отклонения  $\Delta_{\max}$  центра  $C$  захвата от прямой радиальной линии на его соответствие требуемому (минимальному) значению. Процедура поиска останавливается по достижении критериального показателя требуемого уровня.

Рис. 10. Схема направляющего механизма шарнирно-рычажного манипулятора

Математическая модель направляющего механизма манипулятора (рис. 10) включает длины звеньев манипулятора  $l_1$ ,  $l_2$ ; параметры закрепления гидроцилиндров



ров  $a$ ,  $b$ ,  $d$ ,  $e$ ; углы  $\gamma_1$ ,  $\gamma_2$ ,  $\delta$ ,  $\epsilon$ , характеризующие форму звеньев; площади поршней гидроцилиндров стрелы и рукояти  $F_{nc}$ ,  $F_{np}$ ; уравнения связи кинематических параметров с координатами центра захвата манипулятора, уравнение связи между длинами гидроцилиндров привода стрелы и рукояти, явные и неявные ограничения на кинематические параметры.

Математическая модель направляющего механизма манипулятора включает показатель качества проекта—целевую функцию, в качестве которой принят модуль максимального отклонения центра  $C$  захвата от прямой радиальной линии.

Такие кинематические параметры направляющего механизма манипулятора как длины звеньев  $l_1$ ,  $l_2$ ; параметры закрепления гидроцилиндров  $a$ ,  $b$ ,  $d$ ,  $e$ ; углы  $\gamma_1$ ,  $\gamma_2$ ,  $\delta$ ,  $\epsilon$ , характеризующие форму звеньев, являются варьируемыми параметрами.

Площади поршней гидроцилиндров стрелы и рукояти  $F_{nc}$ ,  $F_{np}$ ; начальные длины гидроцилиндров стрелы и рукояти  $c_0$ ,  $f_0$ ; конечные длины гидроцилиндров стрелы и рукояти  $c_1$ ,  $f_1$  образуют совокупность независимых параметров.

Программа основана на модифицированном последовательном симплексном методе оптимизации, известном под названием «комплексный метод» Бокса.

При найденных кинематических параметрах манипулятора ЛО-15А.10 значение  $\Delta_{\max}$  составило 194 мм. С помощью разработанной программы удалось уменьшить  $\Delta_{\max}$  в 18,6 раз.

На рис. 11 представлены траектории центра захвата манипулятора ЛО-15А.10 до оптимизации, а на рис. 12 после оптимизации кинематических параметров.

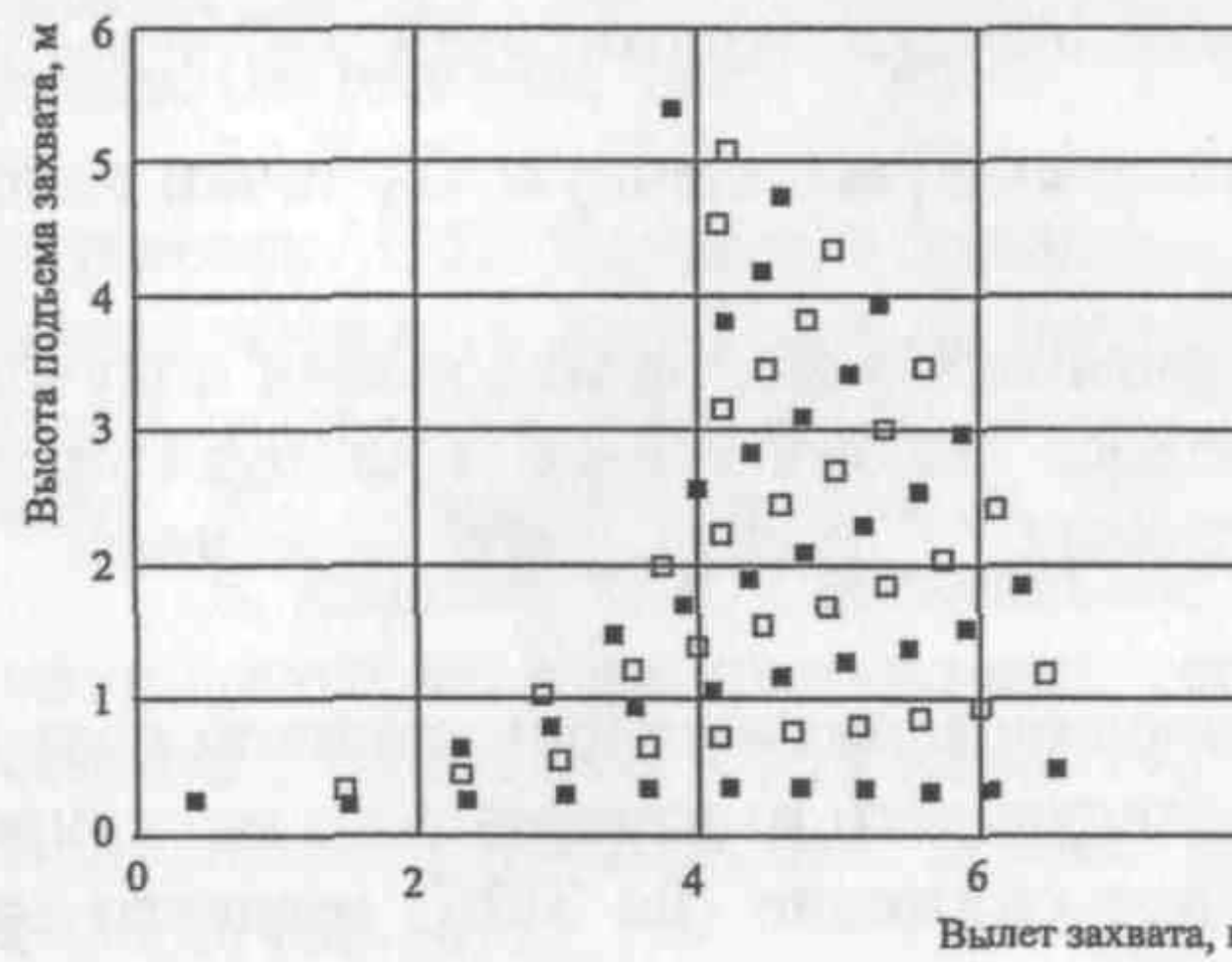


Рис. 11. Траектории центра захвата манипулятора ЛО-15А.10 до оптимизации кинематических параметров

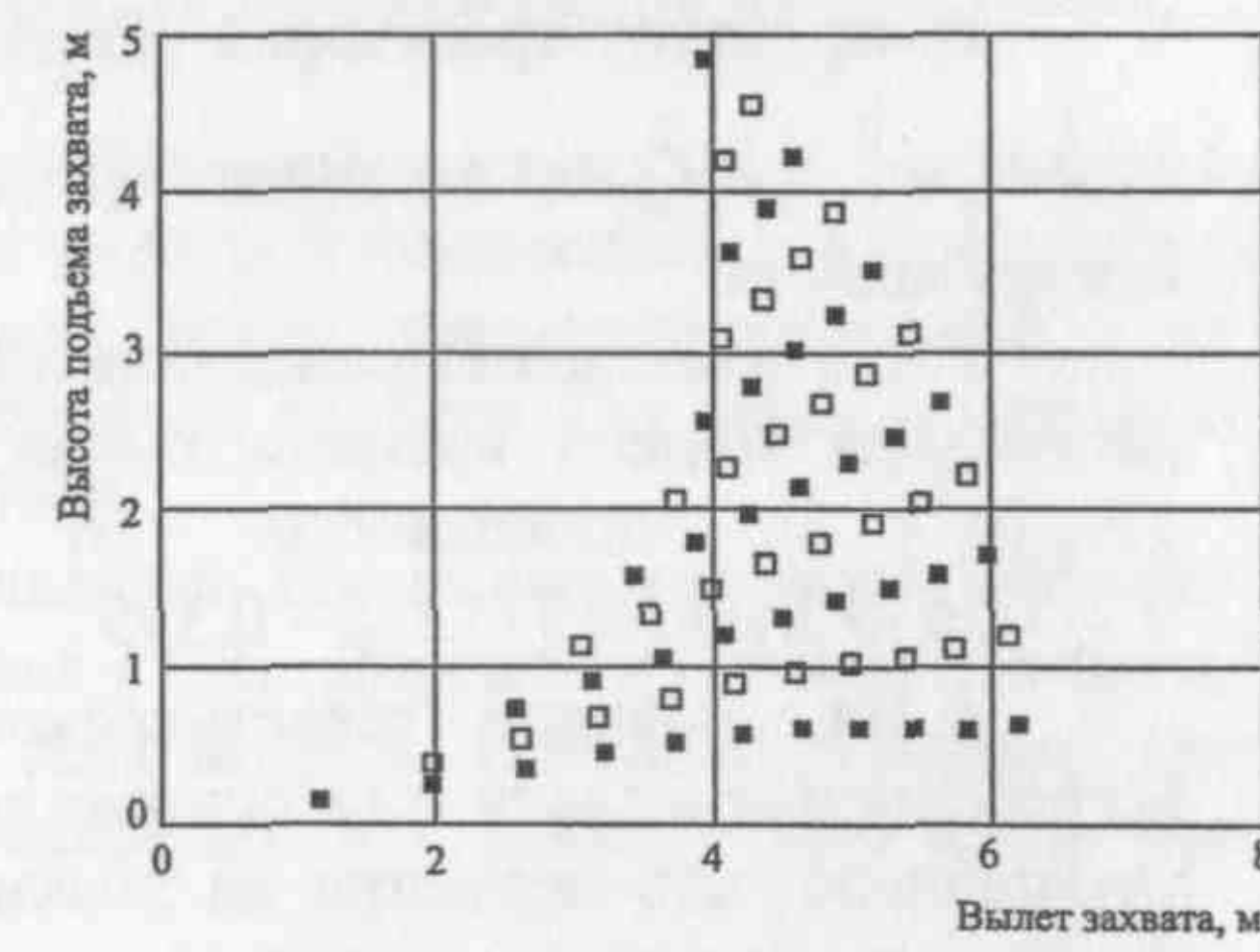


Рис. 12. Траектории центра захвата манипулятора ЛО-15А.10 после оптимизации кинематических параметров

## 6. ВЫВОДЫ И ПРЕДЛОЖЕНИЯ

Исследование процесса загрузки лесоматериалов в обрабатывающие установки шарнирно-рычажными манипуляторами позволяет сделать следующие выводы:

1. Оптимальным в случае плоского движения звеньев является такой режим, при котором угловая скорость рукояти поддерживается на максимальном уровне

$\omega_2 = \Omega_2$ . При этом угловая скорость стрелы равна

$$\omega_1 = \frac{\Omega_2}{2} \left[ 1 - \frac{l_1^2 - l_2^2}{x_C^2 + y_C^2} - \frac{\sqrt{4l_1^2 l_2^2 - (l_1^2 + l_2^2 - x_C^2 - y_C^2)^2}}{a(x_C^2 + y_C^2)} \right].$$

В частном случае при переносе лесоматериала по прямой радиальной линии возмущающая функция  $a = \infty$  и тогда угловая скорость стрелы равна

$$\omega_1 = \frac{\Omega_2}{2} \left( 1 - \frac{l_1^2 - l_2^2}{x_C^2 + y_C^2} \right).$$

2. Плоская оптимальная траектория переноса лесоматериала в общем случае может быть представлена уравнением вида  $\rho_C = R \exp \int ad\phi_C$ . Интерполирующая функция, приближённо изображающая оптимальную траекторию переноса лесоматериала может быть представлена в виде

$$\rho_C = R \exp \left( b_0 \phi_C + b_1 \frac{\phi_C^2}{2} + b_2 \frac{\phi_C^3}{3} + \dots + b_{n-2} \frac{\phi_C^{n-1}}{n-1} \right).$$

В частном случае не строго синхронного движения звеньев плоская оптимальная траектория переноса лесоматериала содержит отрезок прямой радиальной линии  $y_C = a_0 x_C$ , проходящей через ось опорного шарнира стрелы. Здесь  $a_0$  – угловой коэффициент прямой.

В структуру траектории входят также отрезки окружностей  $x_{C_1}^2 + y_{C_1}^2 = R_{C_1}^2$ ,  $x_{C_2}^2 + y_{C_2}^2 = R_{C_2}^2$ , проходящие через начальную  $C_1$  и конечную  $C_2$  точки положения центра захвата.

3. На основании проведенных экспериментальных исследований получена регрессионная модель времени цикла переноса лесоматериала манипулятором ЛО-15А.10 в зависимости от угловых путей его звеньев вида  $Y = 17,679X_1 + 10,371X_2 - 0,599$ .

4. На основании статистического моделирования с использованием полученной регрессионной модели и на основании последующего имитационного моделирования установлено, что несмотря на значительное снижение (на 38%) среднего времени цикла подачи хлыста манипулятором путем оптимального управления, выигрыш в снижении (на 6,6%) среднего времени цикла обработки хлыста не получается значительным, поскольку технологический режим работающего в составе раскряжевочной установки ЛО-15С манипулятора не является гибким. Оптимальный режим работы манипулятора требует форсирования режима раскряжевки.

5. Шарнирно-рычажные манипуляторы для обрабатывающих установок необходимо разрабатывать на основе прямолинейно-направляющих механизмов, так как такие манипуляторы обеспечивают минимальные временные затраты по загрузке лесоматериалов в обрабатывающие установки. Причем манипулятор на основе прямолинейно-направляющего механизма должен обеспечивать траекторию центра захвата в виде прямой радиальной линии, проходящей через неподвижную ось опорного шарнира стрелы.

6. Разработана и внедрена методика автоматизированного проектирования прямолинейно-направляющего механизма шарнирно-рычажного манипулятора. Методика проверена при проектировании однострелового манипулятора МО-1.

7. Выполненное исследование позволяет определить оптимальные режимы работы шарнирно-рычажных манипуляторов в обрабатывающих установках. Это в свою очередь позволяет увеличить сменную производительность установок, снизить удельные капиталовложения и эксплуатационные затраты.

## ОСНОВНЫЕ ПУБЛИКАЦИИ ПО ТЕМЕ ДИССЕРТАЦИОННОГО ИССЛЕДОВАНИЯ

1. Грузоподъемное устройство: а.с. 1312060 А2 СССР, МКИ<sup>3</sup> В66С23/06, А01Г23/08, В25J18/00 / С.П. Дорохов (СССР). №3911875/29-11; заявл.11.06.85; опубл.23.05.87, Бюл. №19. 3 с.
2. Грузоподъемное устройство: а.с. 1439068 А1 СССР, МКИ<sup>3</sup> В66С23/06 / С.П. Дорохов (СССР). №413589/30-11; заявл.20.10.86; опубл.23.11.88, Бюл. № 43. 3 с.
3. Дорохов С.П. Статистическое моделирование времени циклов переноса лесоматериалов двухзвенным манипулятором с различной организацией движения звеньев / С.П. Дорохов // Известия высших учебных заведений. Лесной журнал. – 2010. – №4. – С. 53 – 58.
4. Дорохов С.П. Поиск рациональных гидрокинематических параметров манипуляторов для раскряжевочных установок / С.П. Дорохов // Вклад молодых ученых и специалистов в осуществление комплексной программы механизации лесосечных и нижнескладских работ. Тезисы докладов к научно-технической конференции, 21-22 марта. Свердловск, 1983. с. 39-41.
5. Дорохов С.П. Оптимальное управление манипулятором в раскряжевочной установке / С.П. Дорохов // Вклад молодых ученых и специалистов в ускорение научно-технического прогресса на предприятиях лесной, лесозаготовительной и деревообрабатывающей промышленности Свердловской области. Тез. докл. к науч.-технич. конф. 26-27 апреля. Свердловск, 1985. с. 47-48.
6. Дорохов С.П. Оптимальное управление процессом переноса груза-хлыста манипулятором в раскряжевочной установке / С.П. Дорохов // Тезисы докладов Всесоюзного совещания 18-19 июня 1985г. г. Архангельск. Совершенствование техники и технологии предприятий лесной промышленности и лесного хозяйства. Москва, 1985. с. 168-169.
7. Дорохов С.П. Использование микро-ЭВМ при планировании траектории оптимальной по минимуму времени переноса груза манипулятором в раскряжевочной установке / С.П. Дорохов // Вклад молодых ученых и специалистов в осуществление комплексной механизации и автоматизации лесосечных и нижнескладских работ. Тезисы докладов Областной конференции 19 июня 1987 года. Свердловск, 1987. с. 14-16.
8. Дорохов С.П. Оптимизация по быстродействию траектории переноса груза манипулятором в раскряжевочной установке / С.П. Дорохов // Известия высших учебных заведений. Лесной журнал. – 1988. №4. с. 48-53.
9. Дорохов С.П. Поиск оптимальной по минимуму времени пространственной траектории переноса груза-хлыста в раскряжевочной установке поворотным манипулятором / С.П. Дорохов // Известия высших учебных заведений. Лесной журнал. – 1988. №6. с. 41-46.

10. Дорохов С.П. Оптимизация программного управления манипуляторами в раскряжевочных установках / С.П. Дорохов; СНПЛО. Свердловск, 1988. 19с. Библиогр.: с.19. Деп. во ВНИПИЭИлеспром 29.01.88, № 2130 – лб88.

11. Дорохов С.П. Выбор геометрической траектории двухзвенного манипулятора, обеспечивающей движение, квазиоптимальное по времени / С.П. Дорохов // Тезисы докладов V Всесоюзной научно-технической конференции 25–27 октября 1989 года. Механизация и автоматизация переместительных работ на предприятиях лесного комплекса. Москва, 1989. с. 110-111.

12. Дорохов С.П. Оптимизация движений двухзвенного манипулятора в раскряжевочной установке на основе кинематической модели / С.П. Дорохов // Вклад ученых и специалистов в ускорение научно-технического прогресса химико-лесного комплекса. Тезисы докладов областной научно-технической конференции 31 января–2 февраля. Свердловск, 1989. с. 75-76.

13. Дорохов С.П. Влияние краевых условий на нагруженность манипулятора в раскряжевочной установке / С.П. Дорохов // Труды СНИИЛП. Свердловск, 1991. №.10. с. 98-104.

14. Дорохов С.П. К синтезу направляющих механизмов при автоматизированном проектировании шарнирно-рычажных манипуляторов / С.П. Дорохов, А.Н. Капитанов; СНИИЛП. Свердловск, 1991. Деп. во ВНИПИЭИлеспром 26.09.91, № 9791–лб 91.

15. Дорохов С.П. Влияние кинематики переноса груза на нагруженность манипулятора в составе автотранспортной установки / С.П. Дорохов // Проблемы и достижения автотранспортного комплекса. Материалы 1–й Всероссийской конференции. Екатеринбург, 2003.

16. Манипулятор: а.с. 1255553 СССР, МКИ<sup>3</sup> В66C23/14, В25J5/00, A01G23/08 / С.П. Дорохов (СССР). №3775726/27-11; заявл. 26.07.84; опубл. 07.09.86, Бюл. № 33. 3 с.

17. Робототехнический комплекс: а.с. 1726235 А1 СССР, МКИ<sup>3</sup> В25J11/00, 13/00 / С.П. Дорохов, В.Н. Попов (СССР). №4796028108; заявл.26.02.90; опубл.15.04.92, Бюл. № 14. 10 с.

18. Способ управления рабочим органом грузоподъемного устройства: а.с. 1346420 А1 СССР, МКИ<sup>3</sup> В25J13/00 / С.П. Дорохов (СССР). №3950244/29-08; заявл.02.09.85; опубл.23.10.85, Бюл. № 39. 5 с.

Отзыв на автореферат в двух экземплярах с подписью, заверенной гербовой печатью, просим направлять по адресу: 620100, г. Екатеринбург, Сибирский тракт, 37, Ученому секретарю диссертационного совета Куцубиной Н.В. Факс: (343) 254-62-25.  
E-mail: bsovet@usfeu.ru.

Подписано в печать \_\_\_\_\_.11.2010г. Объем 1,0 п.л. Тираж 100. Заказ № 835.  
620007, г. Екатеринбург, ул. Прибалтийская, 24.

ОАО Научно-производственное предприятие «Старт».

Сектор обслуживания техдокументации на электронных и твердых носителях.

A - 1612